

# 野油菜黄单胞菌中烯脂酰 ACP 还原酶的功能鉴定 \*

余永红<sup>1,2)</sup> 马建荣<sup>1)</sup> 王海洪<sup>2)\*\*</sup>

(<sup>1</sup> 广东食品药品职业学院, 广州 510520; <sup>2</sup> 华南农业大学生命科学学院 / 广东省农业生物蛋白质功能与调控重点实验室, 广州 510642)

**摘要** 烯脂酰 ACP 还原酶是细菌脂肪酸合成的关键酶之一。本研究通过生物信息学分析发现, 野油菜黄单胞菌 *Xanthomonas campestris* (Xcc) 8004 基因组中 XC\_0119 (*XccfabV*) 注释为反 -2- 烯脂酰 CoA 还原酶基因。但其编码产物与铜绿假单胞菌的烯脂酰 ACP 还原酶 *FabV* 具有较高的同源性, 并含有相同的催化活性中心 Tyr-(Xaa)<sub>8</sub>-Lys 序列。用携带 *XccfabV* 的质粒载体互补大肠杆菌 *fabI* 温度敏感突变株 JP1111, 转化子能在 42℃ 生长, 表明 *XccfabV* 能遗传互补大肠杆菌 *fabI* 突变。体外重建脂肪酸合成反应表明, *XccFabV* 能催化不同链长的烯脂酰 ACP 还原为脂酰 ACP, 且催化活性不受三氯森抑制。遗传学研究表明, *XccfabV* 是必需基因, 不能获得 *XccfabV* 基因敲除突变株。将携带大肠杆菌 *fabI* 的外源质粒导入野生菌后, 可敲除染色体上的 *fabV* 基因, 获得的替换突变株生长特性和脂肪酸组成未发生显著变化, 但替换突变株对三氯森敏感。上述结果证实, 野油菜黄单胞菌 *fabV* 是必需基因, 编码烯脂酰 ACP 还原酶, 参与脂肪酸从头合成反应, 且 *FabV* 是 *Xcc* 对三氯森耐受的根本原因。

**关键词** 野油菜黄单胞菌, 脂肪酸合成, 烯脂酰 ACP 还原酶, 三氯森耐受性

**学科分类号** Q93

**DOI:** 10.16476/j.pibb.2015.0343

细菌采用 II 型脂肪酸合成系统从头合成脂肪酸, 每步反应都由独立的酶催化<sup>[1]</sup>。烯脂酰 ACP 还原酶(ENR)催化脂肪酸合成循环的最后一步反应, 是脂肪酸合成的关键酶, 已作为抗菌药物筛选靶标, 用于新型抗菌药物的筛选<sup>[2-3]</sup>。目前已报道的烯脂酰 ACP 还原酶有四种类型: I 型(*FabI*)<sup>[4]</sup>、II 型(*FabK*)<sup>[5]</sup>、III 型(*FabL*)<sup>[6]</sup>和 IV 型(*FabV*)<sup>[7]</sup>。不同类型的酶学特征存在差异, 表现出较为复杂的多样性。

黄单胞菌属是植物病原菌中较大的类群, 能侵染近 400 种单子叶或双子叶植物。该属主要的致病菌包括野油菜黄单胞菌(*Xanthomonas campestris* pv. *campestris*, *Xcc*)、水稻白叶枯菌(*X. oryzae* pv. *oryzae*, *Xoo*)和柑橘溃疡病菌(*X. axonopodis* pv. *citri*, *Xac*)等, 引起水稻、豆类等重要农作物疾病, 造成重大经济损失<sup>[8]</sup>。*Xcc* 能侵染几乎所有十字花科植物, 引起危害严重的黑腐病<sup>[9]</sup>。*Xcc* 产生的多种 DSF 类群体感应信号分子, 通过多级分层调控网络, 调节致病相关基因的表达, 在致病过程中发挥重要作用<sup>[10-11]</sup>。通过阻断 DSF 信号分子的合成, 干扰病原菌的致病过程, 是黑腐病防控的新方向。

研究表明, DSF 合成的前体来源于脂肪酸合成途径<sup>[12-13]</sup>, 但关于 *Xcc* 脂肪酸合成的报道不多<sup>[14]</sup>, 合成途径还不清楚。研究 *Xcc* 的脂肪酸合成代谢, 阐明 DSF 信号合成途径, 对防控黑腐病具有重要的意义。为此, 本课题组采用异体遗传互补、体外酶学分析和基因突变等手段, 研究了 *Xcc* 8004 中烯脂酰 ACP 还原酶(ENR)在脂肪酸合成代谢等方面的功能。

## 1 材料与方法

### 1.1 材料

#### 1.1.1 菌株、质粒和培养基

本研究所用到的大肠杆菌(*Escherichia coli*)菌株有 MG1655、S17-1、DH-5 $\alpha$ 、BL21 (DE3)、

\* 国家自然科学基金(31200028, 31471743), 广东省自然科学基金(2014A030313455)和广东食品药品职业学院院级课题(2015ZY006)资助项目。

\*\* 通讯联系人。

Tel: 020-85281389, E-mail: wanghh36@scau.edu.cn

收稿日期: 2015-10-27, 接受日期: 2016-03-14

JP1111(*fabI*(ts)), 野油菜黄单胞菌 *Xcc*8004。使用的质粒有 pK18mobsacB、pSRKGm<sup>[15]</sup>、pBAD24m 和 pET28b, 其他载体均为上述质粒的衍生质粒(具体构建过程见下文)。LB 用作培养大肠杆菌的丰富培养基, NYG 为野油菜黄单胞菌及突变株的丰富培养基。抗生素的使用浓度如下: 50 mg/L 利福平(Rif)、100 mg/L 氨苄青霉素(Amp)、30 mg/L 卡那霉素(Km)、10 mg/L 庆大霉素(Gm)。诱导剂 L-阿拉伯糖(Ara)浓度为 0.02%, 异丙基-β-D-硫代毗喃半乳糖苷(IPTG)浓度为 1 mmol/L。

### 1.1.2 试剂

限制性内切酶、T4 连接酶、Taq 和 Pfu DNA 聚合酶、Marker DL2000、标准蛋白质等试剂, T-载体克隆、质粒提取和 DNA 凝胶回收等试剂盒均购自大连 TaKaRa 公司; 利福平、氨苄青霉素、卡那霉素、庆大霉素、IPTG、三氯森(triclosan)、阿拉伯糖、蔗糖、各种脂肪酸等试剂购自 Sigma 公司; PCR 扩增引物的合成以及核酸序列测定由上

海 Sangon 公司完成。

### 1.2 DNA 重组技术

以 *Xcc*8004 基因组为模板, 以表 1 中 *XccfabV Nde I* 和 *XccfabV Hind III* 为引物, PCR 扩增 *XccfabV* 基因。扩增产物纯化后连入 pMD19-T 载体, 通过测序验证获得质粒 pYYH-1。将 pYYH-1 用 *Nde I* 和 *Hind III* 双酶切后回收基因片段, 分别克隆到表达载体 pBAD24m 上, 获得互补质粒 pYYH-2; 克隆到 pET28(b)上获得 pYYH-3; 克隆到 pSRKGm 载体上获得 pYYH-4。

### 1.3 野油菜黄单胞菌 *XccfabV* 替换突变株的构建

以 *Xcc*8004 基因组为模板, PCR 扩增 *XccfabV* 基因上下游各约 500 bp 片段(Up, Down)(表 1), 回收后通过融合 PCR 技术将上下游片段融合获得 *XccfabV* (UpDn), 连接到 pMD19-T, 送样测序验证后获得 pYYH-5。经 *EcoR I* 和 *Hind III* 酶切后将 *XccfabV* (UpDn) 连接到 pK18mobsacB 上, 获得质粒 pYYH-6。

Table 1 Sequences of the PCR primers used in this work

Primers	Sequence
<i>XccfabV Nde I</i>	TATATA <u>CCCATATGATCATCCATCCCAAAGTGCG</u>
<i>XccfabV Hind III</i>	AATT <u>AAAGCTT</u> CCTAAC <u>CCCGACAATCAACCCA</u>
<i>XccfabV Up1</i>	AATT <u>GAA</u> TT <u>CTT</u> GACTACC <u>GGTCGTACAGC</u>
<i>XccfabV Up2</i>	CCTAAT <u>CCCTAATCCC</u> GACA <u>ACGTGGACTCCTGGTCAGCA</u>
<i>XccfabV Down1</i>	CTTG <u>GCTGACCAGGAGTCCACGTTGTCGGGATTAGGGATTAGGG</u>
<i>XccfabV Down2</i>	AATT <u>AAAGCTT</u> CTGAG <u>CGCGCCTACCT</u>
<i>P<sub>lac</sub>-V*</i> 1	CAT <u>AGAATT</u> CGGGCAGT <u>GAGCGCAACG</u>
<i>P<sub>lac</sub>-V*</i> 2	AATT <u>AAAGCTT</u> CTTGT <u>GGTGTGCGATGGC</u>
<i>XccfabV Check Up</i>	CGGAGGGACATTC <u>CGCTTGA</u>
<i>XccfabV Check Down</i>	CGATT <u>TCGATGC</u> GGTGCTG

将质粒 pYYH-6 转化大肠杆菌 S17-1 后, 与 *Xcc*8004 在 NYG 平板上 30℃共培养 36 h, 然后用 1 ml NYG 培养基将培养物悬浮, 稀释到 10<sup>-2</sup> 后涂布于含有 Rif、Km 的 NYG 平板, 30℃培养 48~72 h 获得单菌落。选取单菌落培养后提取总 DNA, 用引物 *XccfabV Up1* 和 *XccfabV Down2* 进行 PCR 检测, 获得一次重组菌株 *Xcc*YH1。将 *Xcc*YH1 在添加 Rif 的 NYG 中培养 24 h 后, 涂布于含有 Rif 和 10%蔗糖的 NYGS 平板, 筛选对 Km 敏感的菌株。

以 pYYH-4 为模板, 以 *P<sub>lac</sub>-V\**1 和 *P<sub>lac</sub>-V\**2 为引物(表 1), 扩增获得含有 *P<sub>lac</sub>* 启动子和 *XccfabV* 基

因 5'端约 500 bp 的片段, 经 *EcoR I* 和 *Hind III* 酶切后将其连接到 pK18mobsacB 上, 获得质粒 pYYH-7。将 pYYH-7 转化大肠杆菌 S17-1 后, 与野生菌 *Xcc*8004 接合(步骤同上), 获得具有 Km 抗性的接合子 *Xcc*YH2。进一步通过接合作用将质粒 pSRKGm 导入 *Xcc*YH2, 获得具有 Km 和 Gm 抗性的接合子 *Xcc*YH3(*fabV::P<sub>lac</sub>-fabV*)。

将互补质粒 pYYH-4 或 pMYH-1(携带大肠杆菌 *fabI* 基因)转化大肠杆菌 S17-1 后, 与一次重组菌株 *Xcc*YH1 接合后, 涂布于含有 Rif、Km 和 Gm 的 NYG 平板, 30℃培养 48~72 h 后获得单菌落,

PCR 验证后获得 *XccYH1/pYYH-4* 和 *XccYH1/pMYH-1*. 将其分别在添加 Rif 和 Gm 的 NYG 中培养后, 涂布于含有 Rif 和 Gm 的 NYGS 平板, 筛选获得染色体 *XccFabV* 基因被敲除的二次重组菌株 *XccYH4* ( $\Delta fabV/pYYH-4$ ) 和 *XccYH5* ( $\Delta fabV/pMYH-1$ ).

#### 1.4 蛋白质的表达与分离纯化

将表达质粒 *pYYH-3* 转化大肠杆菌 BL21(DE3) 后, *Xcc8004* 的 *FabV* 蛋白表达与分离纯化参照文献[16-17]进行. 同时参照文献[16-17]中的方法, 分别分离纯化大肠杆菌丙二酸单酰 CoA:ACP 转移酶(*FabD*)、3-酮脂酰 ACP 合成酶Ⅲ(*FabH*)、3-酮脂酰 ACP 还原酶(*FabG*)、3-羟基脂酰 ACP 脱水酶 / 异构酶、烯脂酰 ACP 还原酶(*FabI*)、哈氏弧菌脂酰 ACP 合成酶(*AasS*)和大肠杆菌 holo-ACP 蛋白, 并且体外合成反-2-己烯酰 ACP、反-2-辛烯酰 ACP 和反-2-癸烯酰 ACP.

#### 1.5 烯脂酰 ACP 体外功能检测与催化常数测定

体外检测 *FabV* 在脂肪酸合成起始中的功能以及对长链烯脂酰 ACP 的还原功能参照文献[17]进行. 烯脂酰 ACP 还原酶催化时以 NADH 为辅因子, 在 340 nm 处可检测到反应体系中 NADH 被逐渐消耗. 100  $\mu$ l 反应体系含 200  $\mu$ mol/L NADH、700 ng *XccFabV*、0.1 mol/L 磷酸缓冲液, 加入不同浓度的丁烯酰-CoA 后, 测定 340 nm 处吸收值的

下降速率, 并计算 *FabV* 的催化常数.

#### 1.6 脂肪酸组成分析

在 NYG 中分别培养 *Xcc8004*、*XccYH4* 和 *XccYH5*, 离心收集菌体, 按照文献[16-17]的方法, 提取细菌的脂肪酸, 并转化为脂肪酸甲酯(每种样品做 3 个重复). 样品送华南农业大学测试中心, 进行脂肪酸组成 GC-MS 分析.

## 2 结果与分析

### 2.1 生物信息学分析

野油菜黄单胞菌 8004 的全基因组测序已完成<sup>[18]</sup>. 分别利用大肠杆菌烯脂酰 ACP 还原酶 *FabI*、肺炎链球菌(*Streptococcus pneumoniae*)烯脂酰 ACP 还原酶 *FabK*、枯草芽孢杆菌(*Bacillus subtilis*)烯脂酰 ACP 还原酶 *FabL* 和铜绿假单胞菌(*Pseudomonas aeruginosa*)烯脂酰 ACP 还原酶 *FabV* (*PaFaV*) 的蛋白序列, 同源比对 *Xcc8004* 基因组, 发现烯脂酰 ACP 还原酶 *fabV* 的同源基因: XC\_0119, 注释为反-2-烯脂酰 CoA 还原酶, 处于功能未知的基因簇中 XC\_0119 编码产物与 *PaFaV* 的相似性为 74%, 一致性达 59%, 且含有相同的催化活性中心 Tyr-(Xaa)<sub>8</sub>-Lys 序列<sup>[19]</sup>(图 1). 根据生物信息学分析结果, 推测 XC\_0119 (命名为 *XccfabV*) 编码烯脂酰 ACP 还原酶, 参与 *Xcc8004* 的脂肪酸合成. 为验证这一观点, 本课题组对其进行了以下研究.

PaFaV	MI I K P R V R G F I C V T T H P A G C E A N V K Q Q I D Y V E A K G P V V N G P K K V L V I G S S T G Y G L A A R I T	60
XccFabV	MI I H P K V R G F I C T T T H P L G C E R N V L D Q I A A T R A R G V R N D G P K K V L V I G A S S G Y G L A S R I T	60
PaFaV	AA F G S G A D T L G V F F E R P G S E S K P G T A G W Y N S A A F E K F A H E K G L Y A R S I N G D A F S D E V K R L	120
XccFabV	AA F G F G A D T L G V F F E K P G S D K K A G T A G W Y N S A A F D T H A K A A G L Y S K S I N G D A F S D E A R A K	120
PaFaV	T I E T I K R D L G - K V D L V V Y S L A A P R R T H P K S G E V F S S T L K P I G K S V S F R G L D T D K E V I K D V	179
XccFabV	V I E L I K T D M G G Q V D L V V Y S L A S P V R K L P S T G E V K R S A L K P I G N T Y T A T A I D T N K D T I I Q A	180
PaFaV	V L E A A S D Q E V A D T V A V M G G E D W Q M W I D A L L E A D V L A D G A K T T A F T Y L G E K I T H D I Y W N G S	239
XccFabV	S I E P A T E Q E I E D T I T V M G G Q D W E L W I D A L D S A G V L A K G A R S V A F S Y I G T E I T W P I Y W H G A	240
PaFaV	I G A A K K D L D Q K V L G I R D K L A P L G G D A R V S V L K A V V T Q A S S A I P M M P L Y L S L L F K V M K E Q G	299
XccFabV	L G K A K V D L D H T A Q R L D A R L Q A S G G G A N V A V L K S V V T Q A S A A I P V M P L Y I S M V Y K I M K E K G	300
PaFaV	T H E G C I E Q V D G L Y R E S L Y - - G A E P R L D E E G R L R A D Y K E L O P E V Q S R V E E L W D K V T N E N L	356
XccFabV	L H E G T I E Q L D R L F R E R L Y R E D G Q P A E V D E Q N R L R L D D W E L R D D V Q D A C K A L W P Q V T T E N L	360
PaFaV	Y E L T D F A G Y K S E F L N L F G F E V A G V D Y E Q D V N P D V Q I A N L I Q A	398
XccFabV	F A L T D Y A G Y K H E F L K L F G F E R K D V D Y D A D V D P D V K F	396

Fig. 1 Alignment of *XccFabV* with *P. aeruginosa* *FabV* (*PaFabV*)

The catalytic triad Tyr-(Xaa)<sub>8</sub>-Lys is underlined.

## 2.2 遗传互补大肠杆菌 *fabI*温度敏感突变株

在大肠杆菌中, *fabI*基因编码烯脂酰 ACP 还原酶, 是其生长的必需基因<sup>[20]</sup>。菌株 JP1111 是大肠杆菌 *fabI*基因的温度敏感突变株, 在 30℃培养时能正常生长, 而在 42℃时缺乏烯脂酰 ACP 还原酶, 菌体无法生长<sup>[4]</sup>。为验证 *XccfabV* 的功能, 将其克隆到受阿拉伯糖诱导的表达载体 pBAD24m 上, 获得质粒 pYYH-2。将 pYYH-2 转化 JP1111, 并检测转化子的生长情况, 结果如图 2a 所示。在 30℃培

养时, 转化子都能正常生长, 而 42℃培养时, 在添加 Ara 的平板上, JP1111 以及空载体 pBAD24m 转化子都不能生长, 而 pYYH-2 和 pHW1 (pBAD24m 载体上携带有野生型大肠杆菌 *fabI*基因)的转化子能正常生长。生长曲线测定结果也证明了这一点, *XccfabV* 能恢复 JP1111 菌株 42℃时的生长(图 2b)。以上结果说明 *XccfabV* 基因编码产物具有烯脂酰 ACP 还原酶活性, 能互补大肠杆菌 *fabI*的突变。

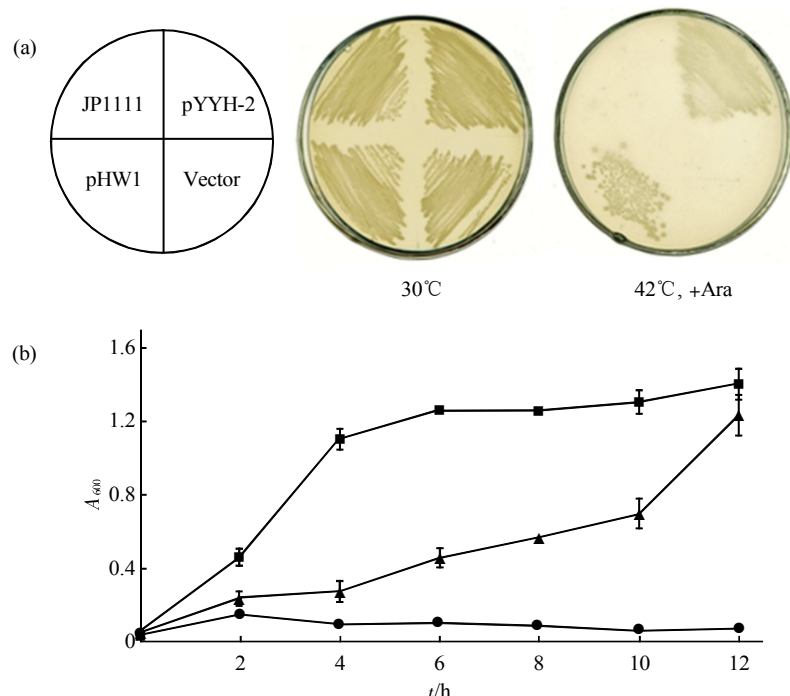


Fig. 2 Complementation of *E. coli* *fabI* (ts) mutant JP1111 with *XccfabV* or *EcfabI*

(a) Complementation of *E. coli* JP1111 with pYYH-2 or pHW1. (b) The growth of transformants of JP1111 restored by pYYH-2 or pHW1.  
 ■—■: pYYH-2; ▲—▲: pHW1; ●—●: pBAD24M.

三氯森(triclosan)能抑制烯脂酰 ACP 还原酶 FabI 的活性<sup>[21]</sup>, 但不能抑制铜绿假单胞菌 FabV 的活性<sup>[19]</sup>。为检测野油菜黄单胞菌 FabV 对三氯森的敏感性, 将质粒 pYYH-2 转化大肠杆菌 MG1655, 并在添加 Ara 以及不同浓度三氯森的培养基上观察转化子的生长情况(表 2)。结果显示, 三氯森对 pHW1 或空载体转化子的最低抑菌浓度(MIC)是 1.0 mg/L, 对 pYYH-2 转化子的 MIC 超过 1 000 mg/L, 表明野油菜黄单胞菌 FabV 对三氯森有极高的抗性, 与铜绿假单胞菌 FabV 类似。

Table 2 Triclosan tolerance of *E. coli* and *Xcc* strains

Strain	Clone	$\rho$ (Triclosan MIC)/ (mg·L <sup>-1</sup> )
<i>E. coli</i>		
MG1655/pBAD24m	Empty vector	1.0
MG1655/pHW1	<i>EcfabI</i>	1.0
MG1655/pYYH-2	<i>XccfabV</i>	> 1000
<i>Xcc</i>		
8004	None	500
YH4/pYYH-4	<i>XccfabV</i>	1 000
YH5/pMYH-1	<i>EcfabI</i>	6

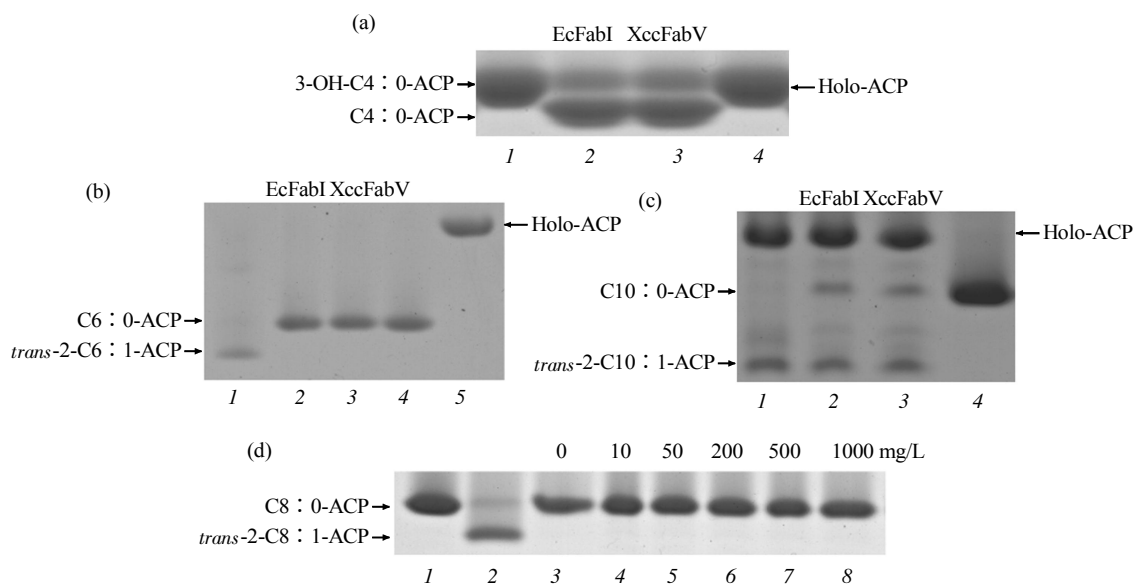
### 2.3 野油菜黄单胞菌 FabV 的表达纯化与酶学分析

为进一步研究 XccFabV 在体外的生物学功能, 将 *XccfabV* 基因克隆到 pET28(b)上, 获得表达质粒 pYYH-3。将其转化大肠杆菌 BL(DE3)后, 在 37℃诱导蛋白质表达, 结果显示 XccFabV 能高效可溶性表达(结果未列)。采用 Ni-NTA 亲和层析, 纯化获得 N 端融合有 His-tag 标签的 XccFabV。经 SDS-PAGE 检测为单一一条带, 分子质量为 45.8 ku。与推测的分子质量相符, 表明纯化成功(结果未列)。

首先检测了 XccFabV 在脂肪酸合成起始反应中的功能(图 3a)。反应体系中加入大肠杆菌 FabD、FabH 后, 将丙二酸单酰 ACP 与乙酰-CoA 聚合后生成 3- 酮基丁酰 ACP, 并在 FabG 催化下生成 3- 羟基丁酰 ACP, 添加 FabA 后, 进一步脱水生成反 -2- 丁烯酰 ACP。但由于 FabA 催化的 3- 羟基丁酰 ACP 脱水反应为可逆反应, 平衡向 3- 羟基丁酰 ACP, 因此凝胶上只显示 3- 羟基丁酰 ACP(泳道 1)<sup>[22]</sup>。在添加大肠杆菌 FabD/H/G/A 体系中, 分别添加大肠杆菌 FabI 或 XccFabV, 都生成丁酰 ACP(泳道 2 和 3)。这表明 XccFabV 与大肠杆菌 FabI 类似, 能催化脂肪酸合成的起始反应。

其次进行了 XccFabV 在脂肪酸延伸反应中活性的检测。首先检测 XccFabV 对反 -2- 己烯酰 ACP 的还原。利用哈氏弧菌脂酰 ACP 合成酶(AasS), 以反 -2- 己烯酸和 holo-ACP 为底物, 合成反 -2- 己烯酰 ACP。而后添加 NADH 以及大肠杆菌 FabI 或 XccFabV, 反应 1 h 后电泳检测反应产物(图 3b)。结果显示, 泳道 2(EcFabI) 和 泳道 3(XccFabV) 的反应产物均为己酰 ACP, 表明反 -2- 己烯酰 ACP 被还原。同样的方法检测了 XccFabV 对反 -2- 壬烯酰 ACP 的还原, 结果表明也生成壬酰 ACP(图 3c)。以上结果再次证明, XccFabV 具有烯脂酰 ACP 还原酶活性, 参与不同链长的延伸反应。

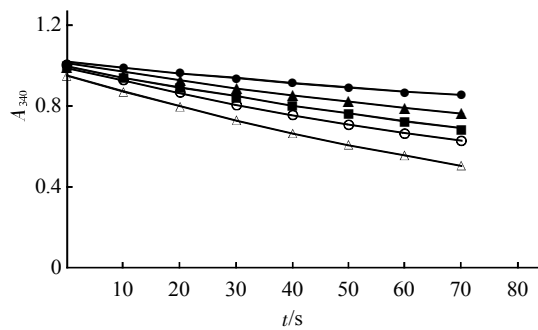
将 *XccfabV* 表达质粒转化大肠杆菌后, 转化子对三氯森的抗性显著增加。为检测转化子对三氯森抗性是否由 XccFabV 引起, 在体外以反 -2- 辛烯酰 ACP 为底物, 添加不同浓度的三氯森(10~1000 mg/L), 检测了 XccFabV 对三氯森的耐受性(图 3d)。结果显示测试浓度的三氯森均不能抑制 XccFabV 的烯脂酰 ACP 还原酶活性。这一结果说明, 野油菜黄单胞菌 FabV 是一种具有三氯森抗性的烯脂酰 ACP 还原酶。



**Fig. 3 Enzymatic characterization of *X. campestris* FabV in fatty acid biosynthesis**

(a) Activity assay of XccFabV in the initial reaction *in vitro*。(b) Assay of XccFabV ENR activity *in vitro*。EcFabI 和 XccFabV 被添加到反应混合物中含 NADH 和 *trans*-2-己酰-ACP。完成的酰-ACP 合成反应通过构象敏感的胶电泳确定。酰-ACP 和己酰-ACP 在胶上的迁移位置如图所示(泳道 1 和 4)。(c) Assay of XccFabV ENR activity *in vitro* with similar procedure as above. The migration positions of *trans*-2-己酰-ACP and己酰-ACP on gel are shown (lane 1 and 4)。(d) Effect of triclosan on the activity of XccFabV. The appropriate amounts of triclosan solution were added to reaction mixture containing NADH and *trans*-2-己酰-ACP, and reaction products were determined by conformationally sensitive gel electrophoresis. The migration positions of己酰-ACP and *trans*-2-己酰-ACP on gel are shown (lane 1 and 2)。

烯脂酰 ACP 还原酶(ENR)催化还原反应时, 按 1:1 比例氧化辅因子 NADH, 而 NADH 在 340 nm 处有特异性吸收<sup>[17]</sup>. 因此, 可通过测定 340 nm 处 NADH 吸光值下降, 来定量测定烯脂酰 ACP 还原酶活性. 根据这一原理, 本课题组以丁烯酰 -CoA 为底物, 测定了 XccFabV 对 NADH 的氧化活性. 在添加不同浓度的丁烯酰 -CoA 时, XccFabV 氧化 NADH 的活性变化见图 4. 根据酶活性, 计算了 XccFabV 对丁烯酰 -CoA 的动力学参数:  $K_m$  和  $V_m$  值, 分别为  $(161.2 \pm 51.6) \mu\text{mol} \cdot \text{L}^{-1}$  和  $(114.7 \pm 21.8) \text{ nmol} \cdot \text{L}^{-1} \cdot \text{min}^{-1} \cdot \text{ng}^{-1}$ .

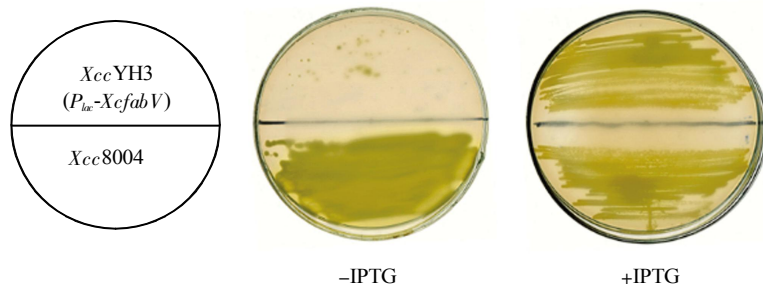


**Fig. 4 Reductase activity of XccFabV with crotonoyl-CoA**  
The 100  $\mu\text{l}$  reaction mixtures contained 20 mmol/L Tris-HCl (pH 8.0), 200  $\mu\text{mol/L}$  NADH, 700 ng XccFabV, and different concentrations of crotonoyl-CoA. The activity was determined using a UV-visible light (Vis) spectrophotometer at 25°C. △—△: 300  $\mu\text{mol/L}$ ; ○—○: 200  $\mu\text{mol/L}$ ; ■—■: 150  $\mu\text{mol/L}$ ; ▲—▲: 100  $\mu\text{mol/L}$ ; ●—●: 50  $\mu\text{mol/L}$ .

## 2.4 野油菜黄单胞菌 fabV 基因突变菌株的构建

以上异体遗传互补、体外酶学分析都证明了野油菜黄单胞菌 fabV 编码烯脂酰 ACP 还原酶. 为进一步研究 XccfabV 的生理功能, 我们首先构建了 fabV 基因的自杀性载体 pYYH-6, 转化大肠杆菌 S17-1 后, 通过接合作用导入野生菌 Xcc8004, 在含有 Rif 和 Km 的平板筛选获得一次重组菌株 XccYH1. 但多次筛选都不能获得 XccfabV 的敲除突变株(结果未列). 推测 XccfabV 为野油菜黄单胞菌生长的必需基因, 敲除后将导致细菌死亡.

为验证以上推测, 以 pYYH-4 为模板, 扩增获得含有启动子  $P_{lac}$  和 XccfabV 基因 5'端约 500 bp 序列的片段  $P_{lac}\text{-}XccfabV^*$ , 连入 pK18mobsacB 获得质粒 pYYH-7, 转化大肠杆菌 S17-1 后接合导入 Xcc8004, 在 Rif 和 Km 的平板筛选获得重组菌株 XccYH2, 其基因组中含有  $\Delta XccfabV$  和由  $P_{lac}$  启动的 XccfabV 基因. 由于 Xcc8004 中没有 lacI 基因,  $P_{lac}$  启动 XccfabV 基因表达, 因此 XccYH2 能正常生长(结果未列). 进一步将携带 lacI<sup>q</sup> 基因的 pSRKGm 质粒通过接合作用导入 XccYH2, 获得 XccYH3. 平板检测 XccYH3 生长情况, 结果显示在添加诱导剂 IPTG 时, 解除了 LacI 对  $P_{lac}$  启动子的抑制, XccYH3 生长良好, 而在无 IPTG 的培养基中, XccYH3 生长很弱, 推测为渗漏表达引起的(图 5). 这一结果充分说明 fabV 是野油菜黄单胞菌生长的必需基因.



**Fig. 5 The growth of XccYH3 on NYG plate with or without IPTG**

为此, 进一步构建了基因替换突变株. 将表达质粒 pYYH-4 ( $XccfabV$ ) 和 pMYH-1 ( $EcfabI$ ) 分别导入一次重组菌株 XccYH1 后, 在含有 10% 蔗糖、Rif 和 Gm 平板上, 筛选出对 Km 敏感的备选菌株, 用引物  $XccfabV$  Check Up 和 Check Down 进行 PCR 检测, 筛选到只扩增出 1.2 Kb 特异条带的菌

株, 并对其基因组 fabV 区域进行测序. 结果显示染色体上 fabV 被成功敲除, 获得基因替换突变株, 分别命名为 XccYH4 ( $\Delta fabV/pYYH-4$ ) 和 XccYH5 ( $\Delta fabV/pMYH-1$ ). 这一结果再次证明 XccfabV 是关键基因, 只有导入类似功能基因后, 才能被敲除.

## 2.5 野油菜黄单胞菌 fabV 基因替换突变株性状分析

FabI 和 FabV 属于不同类型的烯脂酰 ACP 还原酶，两者分子质量、催化中心以及三氯森抗性等方面都有明显差异。为研究替换突变株的生理功能变化，首先测定野生菌与突变株的生长曲线(图 6)。结果显示，在添加 IPTG 时，替换突变株 *Xcc* YH4 和 *Xcc* YH5 与野生菌 *Xcc* 8004 的生长无明显差异，表明 *XccfabV* 和 *EcfabI* 的编码产物在细菌细胞内功能类似，都能维持菌体的正常生长。

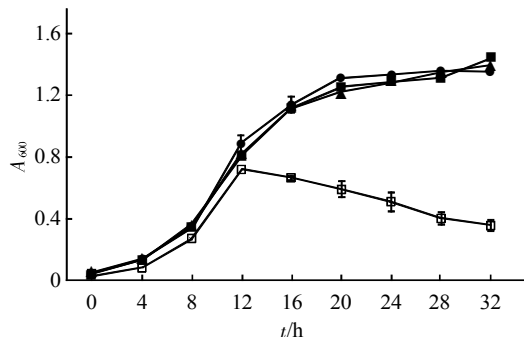


Fig. 6 Growth phenotype of *Xcc* 8004, *Xcc* YH4 (*XccfabV*) and *Xcc* YH5 (*EcfabI*)

■—■: *Xcc* 8004; ▲—▲: *Xcc* YH4 (*XccfabV*); ●—●: *Xcc* YH5 (*EcfabI*); ○—○: *Xcc* YH5 (*EcfabI*) with triclosan (10 mg/L) when *A*<sub>600</sub> reached 0.7.

为检测替换突变株的脂肪酸组成，我们抽提了野生菌 *Xcc* 8004 以及替换突变株 *Xcc* YH4 (*XccfabV*)、*Xcc* YH5 (*EcfabI*) 的脂肪酸，甲酯化后通过 GC-MS 测定各菌株的脂肪酸组成，结果如表 3 所示。野油菜黄单胞菌产生大量的异构(iso-)和反异构(anteiso-)两种类型的支链脂肪酸(BCFA)，总含量超过 50%，以异构十五烷酸 (*isoC*<sub>15:0</sub>) 和反异构十五烷酸 (*anteisoC*<sub>15:0</sub>) 两种组分为主。野生菌 *Xcc* 8004 还合成不饱和脂肪酸(UFA)，总含量超过 30%，以棕榈油酸(*n-C*<sub>16:1</sub>)为主要组分。替换突变株 *Xcc* YH4 (*XccfabV*) 和 *Xcc* YH5 (*EcfabI*) 的脂肪酸组成总体上与野生菌没有显著性差异，也产生了大量的支链脂肪酸，以及较高含量的不饱和脂肪酸，组分和含量差异不大，其中 *Xcc* YH5 (*EcfabI*) 中 *isoC*<sub>15:0</sub> 组分的含量较野生菌提高了约 3%，而 *Xcc* YH4 (*XccfabV*) 中 *isoC*<sub>15:0</sub> 组分和 *n-C*<sub>16:1</sub> 组分都较野生菌降低了 3%，推测 FabI 和 FabV 对底物选择性稍有不同。

进一步测定了突变株对三氯森的敏感性(表 2)。结果显示，三氯森对野生菌 *Xcc* 8004 的 MIC 为

Table 3 Fatty acid compositions of *Xcc* 8004, *Xcc* YH4 (*XccfabV*) and *Xcc* YH5 (*EcfabI*)

Fatty acids	<i>Xcc</i> 8004 (Wild-type)	<i>Xcc</i> YH4 ( <i>XccfabV</i> )	<i>Xcc</i> YH5 ( <i>EcfabI</i> )
<i>isoC</i> <sub>14:0</sub>	1.36±0.58	1.17±0.16	1.43±0.87
<i>isoC</i> <sub>15:0</sub>	27.20±3.15	24.78±3.31	30.21±2.99
<i>anteisoC</i> <sub>15:0</sub>	20.17±1.33	19.94±1.27	19.67±1.61
<i>isoC</i> <sub>16:0</sub>	6.51±0.89	5.29±0.57	7.22±1.59
<i>n-C</i> <sub>16:1</sub>	25.72±3.30	24.94±2.37	24.07±4.30
<i>n-C</i> <sub>16:0</sub>	8.02±0.93	4.99±0.35 <sup>a</sup>	8.21±1.63
<i>n-C</i> <sub>17:1</sub>	2.56±0.73	3.73±0.31	3.43±1.73

<sup>a</sup>*P*<0.05, compared with wild type.

500 mg/L，而对 *EcfabI* 基因替换突变株 *Xcc* YH5 的 MIC 仅为 6 mg/L，而 *Xcc* YH4 (*XccfabV*) 恢复了对三氯森的抗性(MIC 为 1 000 mg/L)。测定生长曲线也显示类似的结果，在 *Xcc* YH5 培养基中，添加 10 mg/L 的三氯森，菌体停止生长，并逐渐衰亡(图 6)。综合以上结果，说明 FabV 是野油菜黄单胞对三氯森耐受的根本原因。

## 3 结论与讨论

野油菜黄单胞菌 *Xcc* 能侵染几乎所有十字花科植物，引起黑腐病，在全球范围内造成重大的经济损失。*Xcc* 作为植物与病原微生物相互作用的模式细菌，产生群体感应(QS)信号分子 DSF。DSF 通过多级分层调控网络，调控致病相关基因的表达，影响 *Xcc* 的致病性。研究认为，DSF 的合成前体来源于 *Xcc* 脂肪酸合成系统。因此，研究 *Xcc* 的脂肪酸合成代谢，有助于阐明 DSF 信号的合成和调控机制，对防控 *Xcc* 引起的病害提供新的思路。

但 *Xcc* 脂肪酸合成代谢研究报道较少。本课题组通过比较发现，*Xcc* 8004 基因组中 *fabF1* (*Xc3225*) 与 *fabG*、*fabD*、*fabH* 在同一区域，*fabB* (*Xc3652*) 与 *fabA* 在同一区域，而 *fabF2* 单独在一个区域。虽然 *FabF1*、*FabF2* 和 *FabB* 都含有长链 3-酮脂酰 ACP 合成酶的催化中心 Cys-Cys-His，但研究结果显示 *FabF1* 具有 3-酮脂酰 ACP 合成酶Ⅱ的活性，*FabB* 具有 3-酮脂酰 ACP 合成酶Ⅰ的活性，而 *FabF2* 不具有 3-酮脂酰 ACP 合成酶活性，推测参与其他代谢途径<sup>[14]</sup>。

烯脂酰 ACP 还原酶(ENR)催化脂肪酸合成循环的最后一歩，将反-2-烯脂酰 ACP 还原为脂酰 ACP。细菌的烯脂酰 ACP 还原酶具有广泛的多样

性, 包括 FabI、FabK、FabL 和 FabV 等, 其结构和特性各不相同。研究表明, 大肠杆菌(FabI)、肺炎链球菌(FabK)和霍乱弧菌(FabV)都只含有一种烯脂酰 ACP 还原酶, 而枯草芽孢杆菌(FabI 和 FabL)、铜绿假单胞菌(FabI 和 FabV)<sup>[19]</sup>、粪肠球菌(FabI 和 FabK)<sup>[17]</sup>和流产布氏杆菌<sup>[22]</sup>等含有两种不同的烯脂酰 ACP 还原酶。生物信息学分析结果显示, 野油菜黄单胞菌 *Xcc*8004 中只有一个 *fabV* 同源基因, 没有其他三种类型烯脂酰 ACP 还原酶的同源序列, 因此我们推测 *XccfabV* 是脂肪酸合成的重要基因并开展了深入研究。

本课题组首先对 *XccfabV* 进行异体遗传互补, 结果表明能恢复大肠杆菌 *fabI* 温度敏感突变株 JP1111 在 42℃ 时生长。同时在大肠杆菌中表达 *XccfabV* 基因后, 对三氯森的耐受性显著增加。体外重建脂肪酸合成反应, 结果显示 XccFabV 参与不同链长的反 -2- 烯脂酰 ACP 还原, 且活性不受到三氯森抑制。研究结果显示 *XccfabV* 是 *Xcc* 生长的必需基因。因此, XccFabV 可以作为新型抗菌药物筛选的靶标。

野生菌 *Xcc*8004 菌株对三氯森有较高的抗性。结果显示, 用大肠杆菌 *fabI* 基因替换 *XccfabV* 后, 虽然生长和脂肪酸组成基本与野生菌株一致, 但突变菌株对三氯森十分敏感, 其 MIC 仅为 6 mg/L, 这表明 FabV 是赋予野油菜黄单胞菌对三氯森高抗性的主要原因。

为了解 *Xcc* 致病机理, 寻找防治黑腐病新的切入点, 筛选出新的药物作用靶点, 其脂肪酸的合成机制及与信号分子 DSF 代谢的相互关系等, 都需深入研究。目前, 本课题组还在对 *Xcc* 中其他与脂肪酸合成相关的酶, 以及与 DSF 合成相关的调控机制进行研究, 相关结果将另行发表。

## 参 考 文 献

- [1] Marrakchi H, Zhang Y M, Rock C O. Mechanistic diversity and regulation of Type II fatty acid synthesis. *Biochem Soc Trans*, 2002, **30**(6): 1050–1055
- [2] Massengo-Tiasse R P, Cronan J E. Diversity in enoyl-acyl carrier protein reductases. *Cell Mol Life Sci*, 2009, **66**(9): 1507–1517
- [3] Heath R J, Rock C O. Fatty acid biosynthesis as a target for novel antibacterials. *Curr Opin Investig Drugs*, 2004, **5**(2): 146–153
- [4] Bergler H, Wallner P, Ebeling A, et al. Protein EnvM is the NADH-dependent enoyl-ACP reductase (fabI) of *Escherichia coli*. *J Biol Chem*, 1994, **269**(8): 5493–5496
- [5] Marrakchi H, Choi K H, Rock C O. A new mechanism for anaerobic unsaturated fatty acid formation in *Streptococcus pneumoniae*. *J Biol Chem*, 2002, **277**(47): 44809–44816
- [6] Heath R J, Su N, Murphy C K, et al. The enoyl-[acyl-carrier-protein] reductases fabI and FabL from *Bacillus subtilis*. *J Biol Chem*, 2000, **275**(51): 40128–40133
- [7] Massengo-Tiasse R P, Cronan J E. *Vibrio cholerae* fabV defines a new class of enoyl-acyl carrier protein reductase. *J Biol Chem*, 2008, **283**(3): 1308–1316
- [8] Schaad N W, Postnikova E, Lacy G H, et al. Reclassification of *Xanthomonas campestris* pv. *citri* (ex Hasse 1915) Dye 1978 forms A, B/C/D, and E as *X. smithii* subsp. *citri* (ex Hasse) sp. nov. nom. rev. comb. nov., *X. fuscans* subsp. *aurantifoliae* (ex Gabriel 1989) sp. nov. nom. rev. comb. nov., and *X. alfalfae* subsp. *citrumelo* (ex Riker and Jones) Gabriel et al., 1989 sp. nov. nom. rev. comb. nov.; *X. campestris* pv. *malvacearum* (ex Smith 1901) Dye 1978 as *X. smithii* subsp. *smithii* nov. comb. nov. nom. nov.; *X. campestris* pv. *alfalfae* (ex Riker and Jones, 1935) dye 1978 as *X. alfalfae* subsp. *alfalfae* (ex Riker et al., 1935) sp. nov. nom. rev.; and "var. *fuscans*" of *X. campestris* pv. *phaseoli* (ex Smith, 1987) Dye 1978 as *X. fuscans* subsp. *fuscans* sp. nov. *Syst Appl Microbiol*, 2005, **28**(6): 494–518
- [9] Chan J W, Goodwin P H. The molecular genetics of virulence of *Xanthomonas campestris*. *Biotechnol Adv*, 1999, **17**(6): 489–508
- [10] He Y W, Zhang L H. Quorum sensing and virulence regulation in *Xanthomonas campestris*. *FEMS Microbiol Rev*, 2008, **32** (5): 842–857
- [11] O'Connell A, An S Q, McCarthy Y, et al. Proteomics analysis of the regulatory role of Rpf/DSF cell-to-cell signaling system in the virulence of *Xanthomonas campestris*. *Mol Plant Microbe Interact*, 2013, **26**(10): 1131–1137
- [12] Zhou L, Yu Y, Chen X, et al. The multiple DSF-family QS signals are synthesized from carbohydrate and branched-chain amino acids via the FAS elongation cycle. *Scientific Reports*, 2015, **5**: 13294
- [13] Bi H, Christensen Q H, Feng Y, et al. The *Burkholderia cenocepacia* BDSF quorum sensing fatty acid is synthesized by a bifunctional crotonase homologue having both dehydratase and thioesterase activities. *Mol Microbiol*, 2012, **83**(4): 840–855
- [14] 董会娟, 余永红, 王海洪, 等. 野油菜黄单胞菌中长链 3- 酮脂酰 ACP 合成酶的鉴定. 华南农业大学学报, 2015, **36**(2): 49–54
- [15] Khan S R, Gaines J, Roop R M II, et al. Broad-host-range expression vectors with tightly regulated promoters and their use to examine the influence of TraR and TraM expression on Ti plasmid quorum sensing. *Appl Environ Microbiol*, 2008, **74**(16): 5053–5062
- [16] Mao Y, Ma J, Li F, et al. *Ralstonia solanacearum* RSp0194 encodes a novel 3-Keto-Acyl Carrier Protein synthase III. *Plos One*, 2015, **10**(8): e0136261
- [17] Zhu L, Bi H, Ma J, et al. The two functional enoyl-Acyl Carrier Protein reductases of *Enterococcus faecalis* do not mediate triclosan resistance. *mBio*, 2013, **4**(5): e00613–13
- [18] Qian W, Jia Y, Ren S, et al. Comparative and functional genomic

- analyses of the pathogenicity of phytopathogen *Xanthomonas campestris* pv. *campestris*. *Genome Res*, 2005, **15**(6): 757–767
- [19] Zhu L, Lin J, Ma J, et al. Triclosan resistance of *Pseudomonas aeruginosa* PAO1 is due to *fabV*, a triclosan-resistant enoyl-acyl carrier protein reductase. *Antimicrob Agents Chemother*, 2010, **54**(2): 689–698
- [20] Heath R J, Rock C O. Enoyl-acyl carrier protein reductase (*fabI*) plays a determinant role in completing cycles of fatty acid elongation in *Escherichia coli*. *J Biol Chem*, 1995, **270** (44): 26538–26542
- [21] Heath R J, Rock C O. A triclosan-resistant bacterial enzyme. *Nature*, 2000, **406**(6792): 145–146
- [22] 雷鸣, 马金成, 王海洪. 流产布氏杆菌烯脂酰ACP还原酶的鉴定. *生物化学与生物物理进展*, 2012, **39**(5): 464–471
- Lei M, Ma J C, Wang H H. Prog Biochem Biophys, 2012, **39**(5): 464–471

## Identification and Function Research of The Enoyl-ACP Reductase in *Xanthomonas campestris*\*<sup>†</sup>

YU Yong-Hong<sup>1,2)</sup>, MA Jian-Rong<sup>1)</sup>, WANG Hai-Hong<sup>2)\*\*</sup>

(<sup>1</sup>) *Guangdong Food and Drug Vocational College, Guangzhou 510520, China;*

<sup>2)</sup> *College of Life Sciences, South China Agricultural University/Guangdong Provincial Key Laboratory of Protein Function and Regulation in Agricultural Organisms, Guangzhou 510642, China)*

**Abstract** Enoyl-ACP reductase (ENR) is one of the key enzymes in bacterial fatty acids biosynthesis. Through sequence alignment, gene XC\_0119, annotated as trans-2-enoyl CoA reductase, was found in the genome of *Xanthomonas campestris* pv. *campestris* (*Xcc*) 8004. However, the protein encoded by XC\_0119 shows 59% identity with *fabV*, the ENR from *Pseudomonas aeruginosa*, and contains the same catalytic triad Tyr-(Xaa)<sub>8</sub>-Lys. Expression of *XccfabV* restored the growth of the *E. coli* *fabI* temperature sensitive mutant JP1111 under non-permissive condition. *In vitro* assay identified that XccFabV catalysed enoyl-ACP with viable chain lengths to acy-ACP, and the activity was not inhibited by triclosan. Furthermore, genetic research proved that *XccfabV* is an essential gene, and none of *XccfabV* deletion mutants was obtained. However, *XccfabV* in the chromosome could be deleted when plasmid expressing *E. coli fabI* was introduced into *Xcc*8004. And the *fabI* replaced mutant showed similar growth characteristic and fatty acid compositions with wild type, but changed to be sensitive to triclosan. These results demonstrated *XccfabV* is essential for growth, encodes ENR involved in fatty acid *de novo* biosynthesis, and FabV confers triclosan resistance on *Xcc*.

**Key words** *Xanthomonas campestris* pv. *campestris* (*Xcc*), fatty acid biosynthesis, enoyl-ACP reductase, triclosan resistance

**DOI:** 10.16476/j.pibb.2015.0343

\*This work was supported by grants from The National Natural Science Foundation of China (31200028, 1471743), The Natural Science Foundation of Guangdong Province (2014A030313455) and Science Foundation of Guangdong Food & Drug Vocational College (2015YZ006).

\*\*Corresponding author.

Tel: 86-20-85281389, E-mail: wanghh36@scau.edu.cn

Received: October 27, 2015 Accepted: March 14, 2016